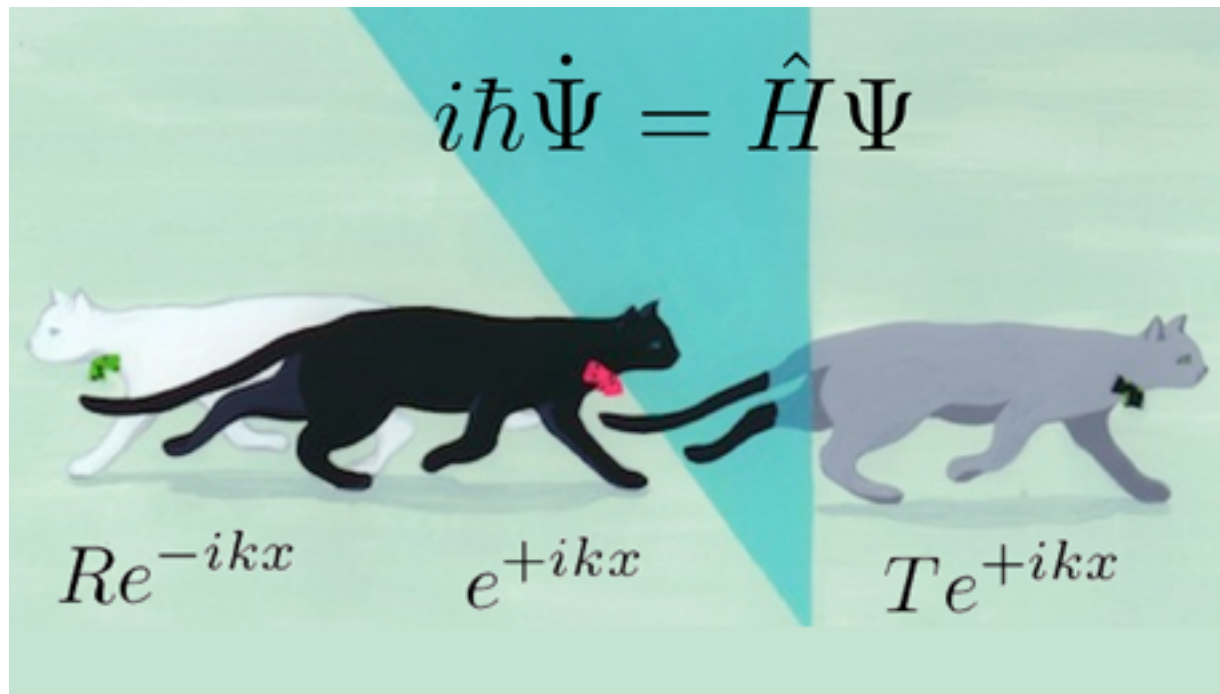


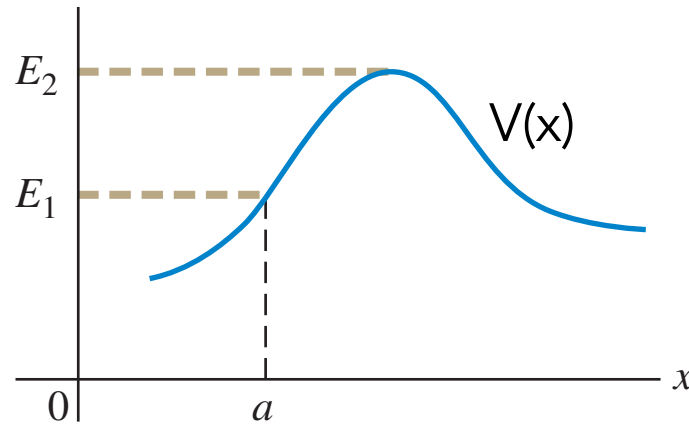
Aula 12

Barreira de potencial, efeito túnel, poço finito, e oscilador harmônico



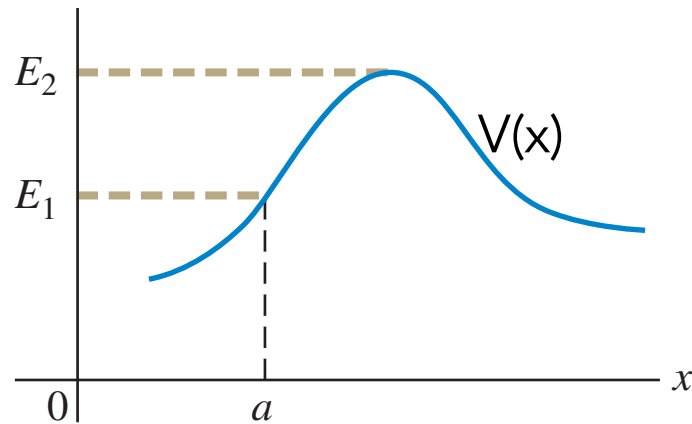
Barreira de potencial

Uma barreira de potencial é descrita por uma função de energia potencial com um máximo.



Na mecânica newtoniana clássica, se uma partícula está inicialmente ao lado esquerdo da barreira (que poderia ser uma montanha), e se a energia mecânica total é E_1 , a partícula não pode se mover mais para o lado direito do ponto $x=a$.

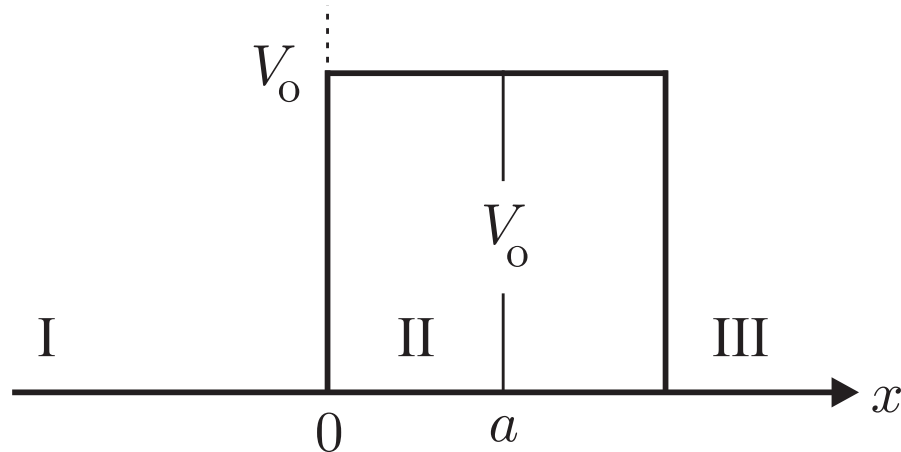
Caso ela fizesse isso, a energia potencial V seria maior que a energia total E e a energia cinética $K=E-U$ seria negativa, o que seria impossível na mecânica clássica, uma vez que $K=(1/2)mv^2$ nunca poderá ser negativa.



Uma partícula da mecânica quântica comporta-se de forma diferente: se ela encontra uma barreira como a da Figura e possui energia menor que E_2 , ela pode aparecer do outro lado. Esse fenômeno é chamado **tunelamento** ou **efeito túnel**.

Barreira de potencial retangular

Consideremos o espalhamento de um feixe de partículas de massa m e energia E , por uma barreira de potencial retangular de altura V_0 e largura a .



Nas regiões I e III a equação de Schrödinger pode ser escrita como:

$$\frac{-\hbar^2}{2m} \frac{d^2\psi(x)}{dx^2} = E\psi(x)$$

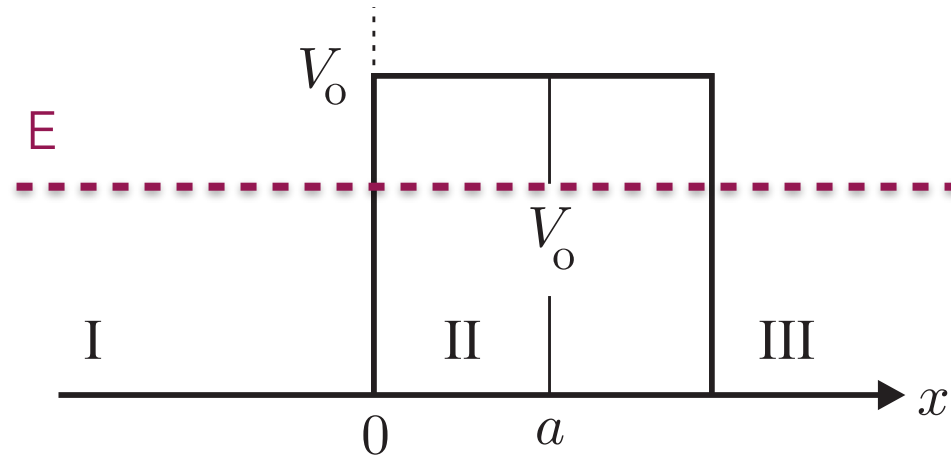
Nas região II equação de Schrödinger pode ser escrita como:

$$-\frac{\hbar^2}{2m} \frac{d^2}{dx^2} \psi(x) + V_0 \psi(x) = E \psi(x) \quad \Rightarrow \quad \frac{d^2 \psi}{dx^2} + \overbrace{\frac{2m}{\hbar} [E - V_0]} \psi(x) = 0$$

Na região II, temos dois tipos de soluções:

- $E > V_0 \quad \Rightarrow \quad \psi(x) \sim e^{\pm i k x}$ com $k = \frac{\sqrt{2m(E - V_0)}}{\hbar} = \frac{p}{\hbar}$
- $E < V_0 \quad \Rightarrow \quad \psi(x) \sim e^{\pm \rho x}$ com $\rho = \frac{\sqrt{2m(V_0 - E)}}{\hbar}$

Resolveremos primeiramente o caso com $E < V_0$:



Classicamente, uma partícula que incide desde a esquerda deve ser refletida com certeza em $x=0$. Veremos que no caso quântico, existe uma probabilidade não nula de que a partícula atravesse a barreira de potencial e passe para a região III. Esse fenômeno se denomina **efeito túnel**.

Para o caso em que $E < V_0$, as funções de onda nas três regiões são:

$$\psi_{\text{I}} = \overbrace{Ae^{ik_0x}}^{\text{incidente}} + \overbrace{B^{-ik_0x}}^{\text{refletida}} \quad k_0 = \sqrt{2mE}/\hbar \quad (x < 0 \text{ e } V = 0)$$

$$\psi_{\text{II}} = Ce^{\rho x} + D^{-\rho x} \quad \rho = \sqrt{2m(V_0 - E)}/\hbar \quad (0 < x < a \text{ e } V = V_0)$$

$$\psi_{\text{III}} = \underbrace{Fe^{ik_0x}}_{\text{transmitida}} \quad (x > a \text{ e } V = 0)$$

Queremos determinar o coeficiente de transmissão dado por:

$$T = \frac{\psi_{III,trans}^* \psi_{III,trans}}{\psi_{I,inc}^* \psi_{I,inc}} = \frac{|F|^2}{|A|^2}$$

As condições de contorno para a função de onda e a sua derivada são:

$$\left\{ \begin{array}{ll} \psi_{\text{I}}(0) = \psi_{\text{II}}(0) & \Rightarrow A + B = C + D \quad (1) \\ \psi'_{\text{I}}(0) = \psi'_{\text{II}}(0) & \Rightarrow ik_{\circ}(A - B) = \rho(C - D) \quad (2) \\ \psi_{\text{II}}(a) = \psi_{\text{III}}(a) & \Rightarrow Ce^{\rho a} + De^{-\rho a} = Fe^{ik_{\circ}a} \quad (3) \\ \psi'_{\text{II}}(a) = \psi'_{\text{III}}(a) & \Rightarrow \rho(Ce^{\rho a} - De^{-\rho a}) = ikF e^{ik_{\circ}a} \quad (4) \end{array} \right.$$

Somando e subtraindo as Eqs. (3) e (4) temos:

$$\left\{ \begin{array}{l} 2Ce^{\rho a} = \left(1 + \frac{ik_{\circ}}{\rho}\right) Fe^{ik_{\circ}a} \quad (5) \\ 2De^{\rho a} = \left(1 - \frac{ik_{\circ}}{\rho}\right) Fe^{ik_{\circ}a} \quad (6) \end{array} \right.$$

Somando e subtraindo as Eqs. (5) e (6) temos:

$$\left\{ \begin{array}{l} 2\rho(C + D) = [(\rho + ik_o)e^{-\rho a} + (\rho - ik_o)e^{\rho a}] F e^{ik_o a} \\ 2\rho(C - D) = [(\rho + ik_o)e^{-\rho a} - (\rho - ik_o)e^{\rho a}] F e^{ik_o a} \end{array} \right. \quad (7)$$

(8)

Mas, de acordo com as Eqs. (1) e (2) temos $C+D = A+B$ e $\rho(C-D) = i k_o(A-B)$.
Substituindo nas Eqs. (7) e (8) temos:

$$\left\{ \begin{array}{l} [(\rho + ik_o)e^{-\rho a} + (\rho - ik_o)e^{\rho a}] F e^{ik_o a} = 2\rho(A + B) \\ [(\rho + ik_o)e^{-\rho a} - (\rho - ik_o)e^{\rho a}] F e^{ik_o a} = 2\rho = 2ik_o(A - B) \end{array} \right. \quad (9)$$

(10)

Agora combinamos as Eqs. (9) e (10) para eliminar B, e tentamos obter o quociente $|F/A|$, já que ele determina o coeficiente de transmissão T.

$$\frac{4A}{F} e^{-ik_0 a} = e^{-\rho a} (\rho + ik_0) \overbrace{\left(\frac{1}{\rho} + \frac{1}{ik_0} \right)}^{(\rho + ik_0)/i\rho k_0} + e^{\rho a} (\rho - ik_0) \overbrace{\left(\frac{1}{\rho} - \frac{1}{ik_0} \right)}^{-(\rho - ik_0)/i\rho k_0}$$

$$\begin{aligned} 4 \frac{A}{F} (i\rho k_0) e^{-ik_0 a} &= e^{-\rho a} \overbrace{(\rho + ik_0)^2}^{\rho^2 + 2i\rho k_0 - k_0^2} - e^{\rho a} \overbrace{(\rho - ik_0)^2}^{\rho^2 - 2i\rho k_0 - k_0^2} \\ &= \underbrace{2i\rho k_0 (e^{\rho a} + e^{-\rho a})}_{2 \cosh \rho a} - (\rho^2 - k_0^2) \underbrace{(e^{\rho a} - e^{-\rho a})}_{2 \sinh \rho a} \end{aligned}$$

$$\frac{A}{F} e^{-ik_0 a} = \cosh \rho a - \frac{(\rho^2 - k_0^2)}{2i\rho k_0} \sinh \rho a$$

Logo:

$$\begin{aligned}\left|\frac{A}{F}\right|^2 &= \underbrace{\cosh^2 \rho a}_{1 + \sinh^2 \rho a} + \frac{(\rho^2 - k_o^2)^2}{4\rho^2 k_o^2} \sinh^2 \rho a \\ &= 1 + \underbrace{\left[1 + \frac{(\rho^2 - k_o^2)}{4\rho^2 k_o^2}\right]}_{\frac{(\rho^2 + k_o^2)^2}{4\rho^2 k_o^2}} \sinh^2 \rho a\end{aligned}$$

$$\left|\frac{A}{F}\right|^2 = 1 + \boxed{\frac{(\rho^2 + k_o^2)}{4\rho^2 k_o^2}} \sinh^2 \rho a$$

Lembrando que:

$$\begin{cases} k_o^2 = 2mE/\hbar^2 \\ \rho^2 = 2m(V_o - E)/\hbar^2 \end{cases} \Rightarrow \begin{cases} (\rho^2 + k_o^2)^2 = (2mV_o/\hbar^2)^2 \\ 4\rho^2 k_o^2 = 4\left(\frac{2m}{\hbar^2}\right)^2 E(V_o - E) \end{cases}$$

temos

$$\boxed{\frac{(\rho^2 + k_o^2)^2}{4\rho^2 k_o^2}} = \frac{V_o^2}{4E(V_o - E)}$$

Assim, o coeficiente de transmissão fica:

$$T = \left| \frac{F}{A} \right|^2 = \left[1 + \frac{V_o^2}{4E(V_o - E)} \sinh^2 \rho a \right]^{-1}$$

Vemos que em geral $T > 0$. Isto é, existe uma probabilidade de que a partícula que inicialmente estava do lado esquerdo da barreira possa ser encontrada do lado direito da barreira.

Essa probabilidade depende da espessura a da barreira e da energia E da partícula (totalmente cinética) em comparação com a altura da barreira V_0 .

Casos particular: Consideremos o caso em que $E \ll V_0 \Rightarrow \rho a \gg 1$.

$$\lim_{\rho a \gg 1} \sinh^2 \rho a \rightarrow \frac{e^{2\rho a}}{4} \gg 1$$

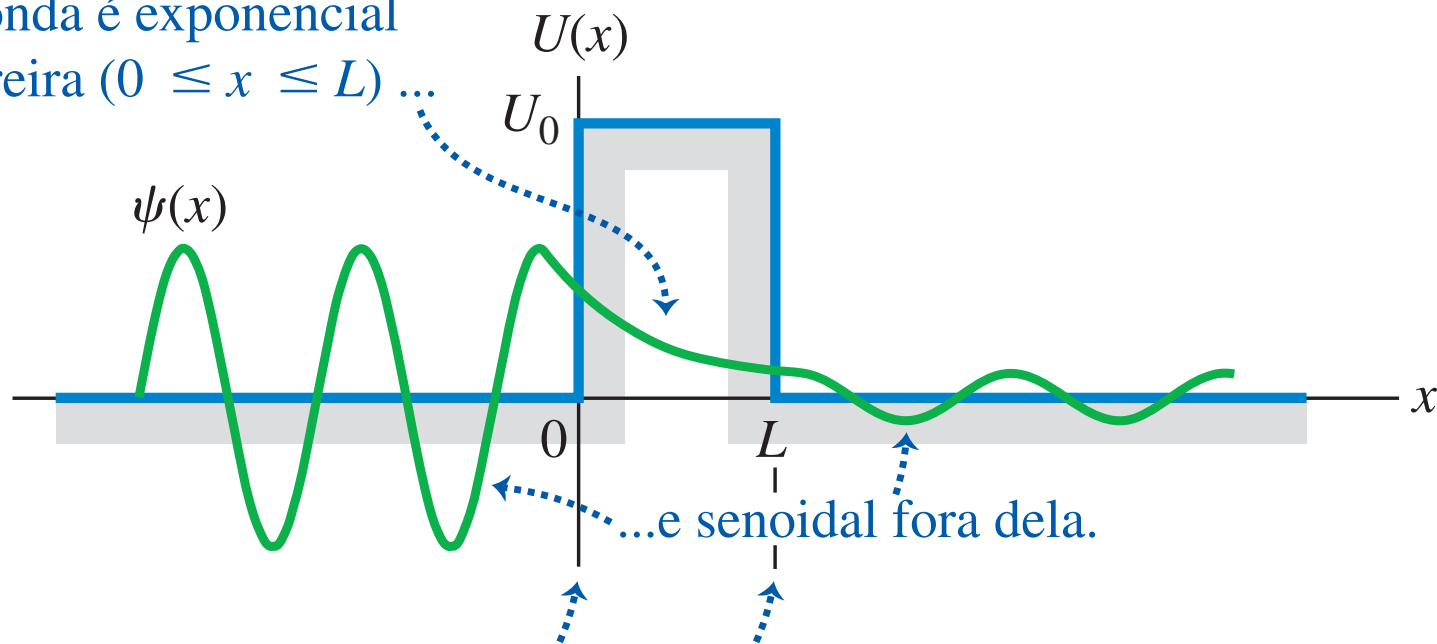
Portanto, o coeficiente de transmissão fica:

$$\lim_{E \ll V_0} T = \frac{16E(V_0 - E)}{V_0^2} e^{2\rho a} \ll 1$$

Isso indica que a probabilidade de penetração na barreira é muito pequena mas, dependendo da largura, algumas partículas do feixe atravessam a barreira.

Na Figura vemos uma função de onda possível para uma partícula tunelando através de uma barreira de energia potencial.

A função de onda é exponencial dentro da barreira ($0 \leq x \leq L$)



...e senoidal fora dela.

A função de onda e suas derivadas (inclinações) são contínuas em $x = 0$ e $x = L$, de modo que as funções senoidal e exponencial se unem sem que haja descontinuidades.

Partícula em uma caixa finita

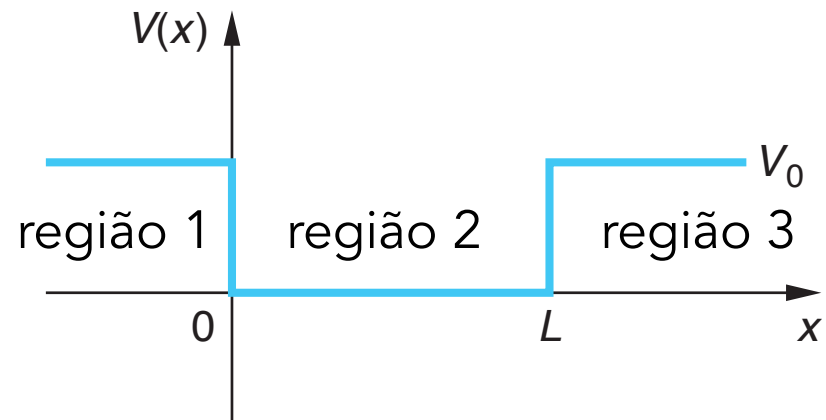
Vamos considerar uma partícula imersa em um potencial da forma:

$$V(x) = 0 \quad \text{para } 0 < x < L$$

$$V(x) = V_0 \quad \text{para } x < 0 \quad \text{e} \quad x > L$$

As soluções da Eq. de Schrödinger são bastante diferentes dependendo de se:

- caso 1: $E < V_0$
- caso 2: $E > V_0$



Vamos resolver agora o caso 1: $E < V_0$ e deixaremos o caso 2 para mais adiante.

Na região dentro do poço, $0 < x < L$, temos $V(x)=0$. Portanto, a equação de Schrödinger fica:

$$\frac{-\hbar^2}{2m} \frac{d^2\psi(x)}{dx^2} = E\psi(x) \quad \Rightarrow \quad \frac{d^2\psi(x)}{dx^2} + \frac{2mE}{\hbar^2}\psi(x) = 0$$

Logo, a solução da equação diferencial na **região 2** é:

$$\psi_2(x) = Ae^{ikx} + Be^{-ikx}$$

onde $k = \sqrt{\frac{2mE}{\hbar^2}}$

Classicamente, uma partícula de massa m e energia $E < V_0$ encontra-se confinada dentro do poço finito. Contudo, a mecânica quântica permite que a partícula possa estar fora do poço.

Portanto, $\psi(x)$ **não deve ser zero em $x=0$ e $x=L$.**

Nas **regiões 1 e 3** onde $V(x) = V_0$, a equação de Schrödinger fica:

$$\frac{-\hbar^2}{2m} \frac{d^2\psi(x)}{dx^2} + V_0\psi(x) = E\psi(x) \quad \Rightarrow \quad \frac{d^2\psi(x)}{dx^2} - \underbrace{\frac{2m(V_0 - E)}{\hbar^2}}_{\equiv \alpha^2} \psi(x) = 0$$

Logo, a solução da equação diferencial nas **regiões 1 e 3** é da forma:

$$\psi(x) = A e^{kx} + B e^{-kx}$$

A função de onda deve ser finita, portanto:

- o termo contendo e^{kx} deve ser nulo na região 3, já que diverge quando $x \rightarrow +\infty$.
- o termo contendo e^{-kx} deve ser nulo na região 1, já que diverge quando $x \rightarrow -\infty$.

Assim sendo, as soluções nas regiões 1 e 3 devem ser:

$$\psi_1(x) = Ce^{\alpha x}$$

$$\psi_3(x) = De^{-\alpha x}$$

Condições de contorno: A função de onda $\psi(x)$ e a sua derivada primeira $d\psi(x)/dx$ devem ser contínuas já que $d^2\psi(x)/dx^2$ deve estar bem definida.

Isso leva às condições:

$$\psi_1(0) = \psi_2(0) \quad \Rightarrow \quad C = A + B$$

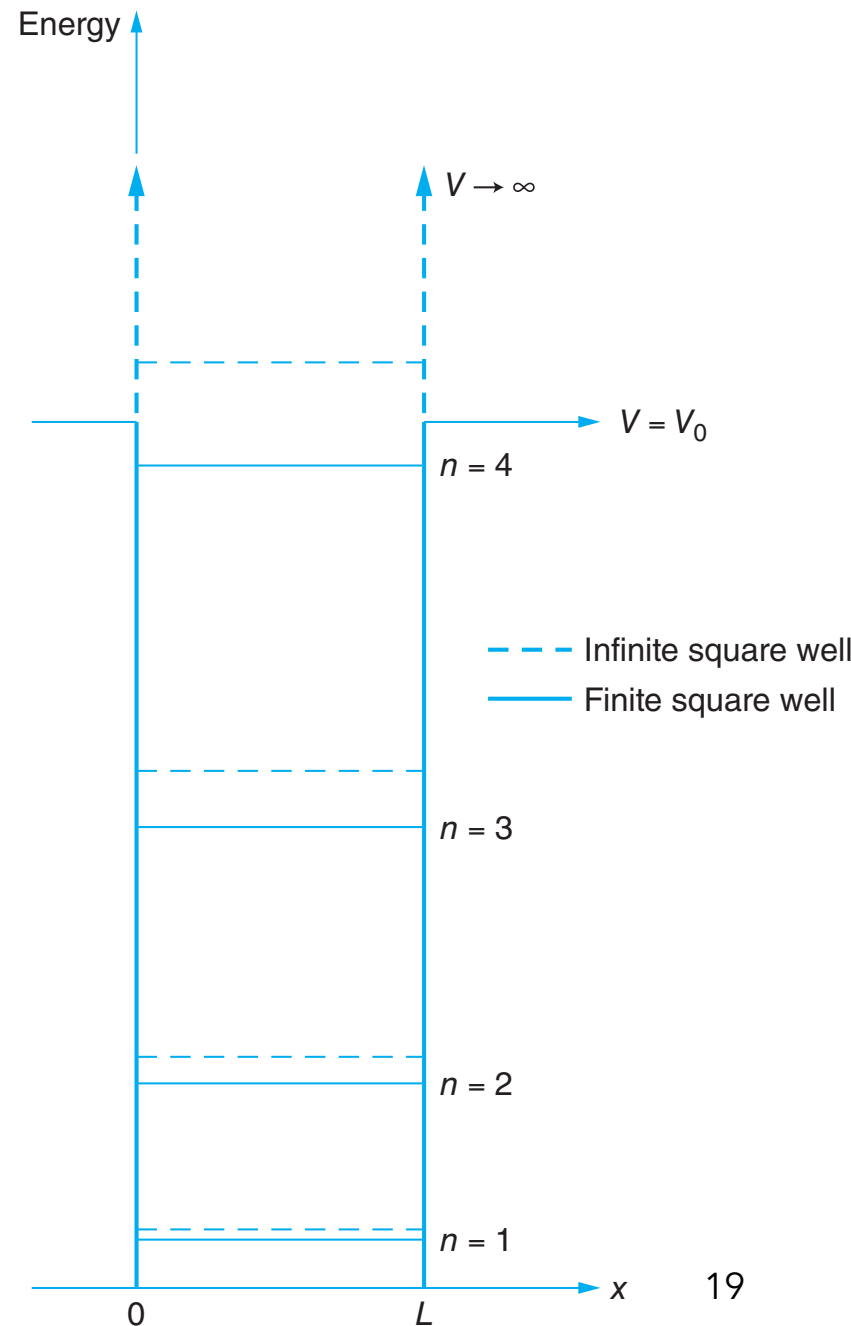
$$\psi_2(L) = \psi_3(L) \quad \Rightarrow \quad Ae^{ikL} + Be^{-ikL} = D e^{-\alpha L}$$

$$d\psi_1(0)/dx = d\psi_2(0)/dx \quad \Rightarrow \quad \alpha C = ik(A - B)$$

$$d\psi_2(L)/dx = d\psi_3(L)/dx \quad \Rightarrow \quad ik(Ae^{ikL} - Be^{-ikL}) = -\alpha D e^{-\alpha L}$$

Os níveis de energia permitidos podem ser obtidos a partir das 4 equações anteriores, eliminando-se as incógnitas A , B , C e D .

No entanto, não é possível encontrar uma solução analítica para essas equações. Resolvendo-as através de métodos numéricos obtemos as energias mostradas na figura.



Oscilador Harmônico

Analiseemos agora as soluções da equação de Schrödinger para o caso de uma partícula sujeita ao potencial unidimensional do tipo oscilador harmônico. O potencial é

$$V(x) = \frac{k}{2}x^2$$

e as soluções podem ser obtidas resolvendo

$$-\frac{\hbar^2}{2m} \frac{d^2}{dx^2} \psi(x) + \frac{k}{2} x^2 \psi(x) = E \psi(x)$$

como se trata de uma situação onde há confinamento, pois a partícula está ligada pelo potencial de força restauradora, as energias formam um espectro discreto $\{E_n\}$. Para cada estado de energia haverá uma autofunção (i.e, função de onda) ψ_n correspondente.

Introduzindo-se uma variável adimensional

$$\xi \equiv \sqrt{\frac{m\omega}{\hbar}} x$$

temos que

$$\frac{d^2\psi}{d\xi^2} - (\xi^2 - \kappa^2)\psi = 0 \quad (*)$$

onde $\kappa \equiv 2E/\omega$.

A resolução da Eq. (*) está além do escopo deste curso. Um estudo bem mais completo do oscilador harmônico quântico pode ser encontrado nos livros-textos de Mecânica Quântica.

É possível mostrar que $\kappa=2n+1$, com $n=0,1,2,\dots$, para que se obtenha soluções aceitáveis fisicamente, i.e. $\psi(x)$ tende a zero para $x \rightarrow \pm\infty$.

Decorre imediatamente desta condição a quantização da energia do sistema:

$$E_n = \left(n + \frac{1}{2} \right) \hbar \omega \quad n = 0, 1, 2, \dots$$

As soluções da Eq. (*) são dadas por

$$\psi_n(x) = C_n e^{-m\omega x^2/2\hbar} H_n(x)$$

onde C_n são constantes de normalização, e as funções $H_n(\xi)$ são os **polinômios de Hermite**.

Os primeiros polinômios de Hermite são:

$$H_0(y) = 1$$

$$H_1(y) = 2y$$

$$H_2(y) = 4y^2 - 2$$

$$H_3(y) = 8y^3 - 12y$$

$$H_4(y) = 16y^4 - 48y^2 + 12$$

As funções de onda para $n=0, 1, 2$ são:

$$\psi_0(x) = A_0 e^{-m\omega x^2/2\hbar}$$

$$\psi_1(x) = A_1 \sqrt{\frac{m\omega}{\hbar}} e^{-m\omega x^2/2\hbar}$$

$$\psi_2(x) = A_2 \left(1 - \frac{2m\omega x^2}{\hbar} \right) e^{-m\omega x^2/2\hbar}$$

